

Рис. 2. Изменение твердости молибдена в зависимости от температуры отжига (выдержка при каждой температуре 30 мин):

1 — необлученные образцы; 2 — образцы, облученные интегральной дозой  $2 \cdot 10^{20}$  нейтр./см $^2$ ; 3 — образцы, облученные интегральной дозой  $8 \cdot 10^{20}$  нейтр./см $^2$ .

в два раза меньше, чем необлученных. Как видно из рис. 1, температурные зависимости свойств при растяжении облученного и необлученного молибдена

несколько различаются. В результате облучения возрастает температура перехода из пластичного в хрупкое состояние, причем после облучения дозой  $8 \cdot 10^{20}$  нейтр./см $^2$  этот прирост составляет около  $270^\circ\text{C}$ .

Согласно данным рис. 2, твердость облученного молибдена восстанавливается в довольно широком интервале температур и независимо от интегральной дозы полностью заканчивается при температуре около  $1100^\circ\text{C}$ . Начало восстановления твердости у образцов, облученных дозой  $2 \cdot 10^{20}$  нейтр./см $^2$ , наблюдается при  $700^\circ\text{C}$ , а у образцов, облученных дозой  $8 \times 10^{20}$  нейтр./см $^2$ , — примерно при  $600^\circ\text{C}$ , т. е. с увеличением интегральной дозы температура начала отжига упрочняющих дефектов смещается в сторону низких температур. Ранее было показано [1, 2], что восстановление твердости облученного молибдена происходит в две стадии. Каждая стадия, вероятно, обусловлена отжигом определенного типа дефектов. Первая стадия протекает при более низких температурах и характеризуется энергией активации около 2 эВ (1,7 эВ, по данным работы [1] и 2,2 эВ, по данным работы [2]), что почти в два раза меньше энергии активации для второй стадии. Поэтому можно полагать, что величина интегральной дозы облучения влияет лишь на первую стадию, а вторая стадия процесса восстановления свойств практически не зависит от количества дефектов, образовавшихся в процессе облучения.

Поступило в Редакцию 31/X 1966 г.

#### ЛИТЕРАТУРА

1. Ш. Ш. Ибрагимов, А. Н. Воробьев. «Атомная энергия», 11, 65 (1961).
2. Reactor Materials, 6, 74 (1963).

## Опыт спектрального γ-каротажа с использованием универсальных многоканальных спектрометров

Н. Д. БАЛЯСНЫЙ, В. М. МИЩЕНКО, А. Н. ПЕГОЕВ, И. М. ТЕНЕНБАУМ,  
Ш. Д. ФРИДМАН, В. Д. КАЛМЫКОВ

УДК 550.835

Гамма-спектральный каротаж является необходимым элементом геолого-поисковых работ, связанных с изучением ураноносности съемочных площадей, перекрытых рыхлыми образованиями. Обычно при этом используются пороговые или трехканальные спектрометры. Поисковые возможности таких устройств ограничены малым объемом регистрируемой информации, а также недостаточной стабильностью и точностью измерений [1]. Применяемые при каротаже глубоких нефтяных скважин приборы СГС-1 в комплекте с 50-канальными анализаторами хотя и не имеют указанных недостатков, однако чрезмерно усложнены и специализированы за счет блока амплитудно-временной трансформации, вынесенного в скважинный снаряд. Вследствие этого значительно затруднено использование спектрометра при измерении вне скважин (например, измерения на поверхности, γ-спектрометрия проб).

В настоящей работе описан опыт применения для каротажа картировочных буровых скважин универсальных многоканальных спектрометров, построенных на базе серийных амплитудных анализаторов АИ-100-1 и АМА-6. Универсальность достигается передачей

спектра амплитуд по кабелю без преобразования в интервалы времени. При этом упрощается скважинный снаряд, а весь прибор в целом за счет простой замены спиритильационных счетчиков может быть легко превращен из каротажного в наземный или лабораторный спектрометр.

Работы выполнялись в ураноносном районе с 1964—1965 гг. Было исследовано 85 буровых скважин.

Дифференциальный спектрометр АИ-100-1 был собран на основе 100-канального лампового анализатора АИ-100-1 [2]. В комплект спектрометра входили также скважинный датчик и блок питания.

Анализатор АИ-100-1 устанавливался в кузове автомашины ЗИЛ-151 в раме, амортизированной стальными пружинами; кроме того, монтажные схемы были укреплены дополнительно. Примененная система амортизации позволяла не выключать спектрометр при передездах между скважинами, что свело к минимуму время, необходимое для прогревания аппарата. Входной усилитель анализатора был заменен на неперегружающийся [3]. Просчеты схемы анализатора при концентрациях урана в породах  $\sim 0,02\%$  менее 1%, поэтому

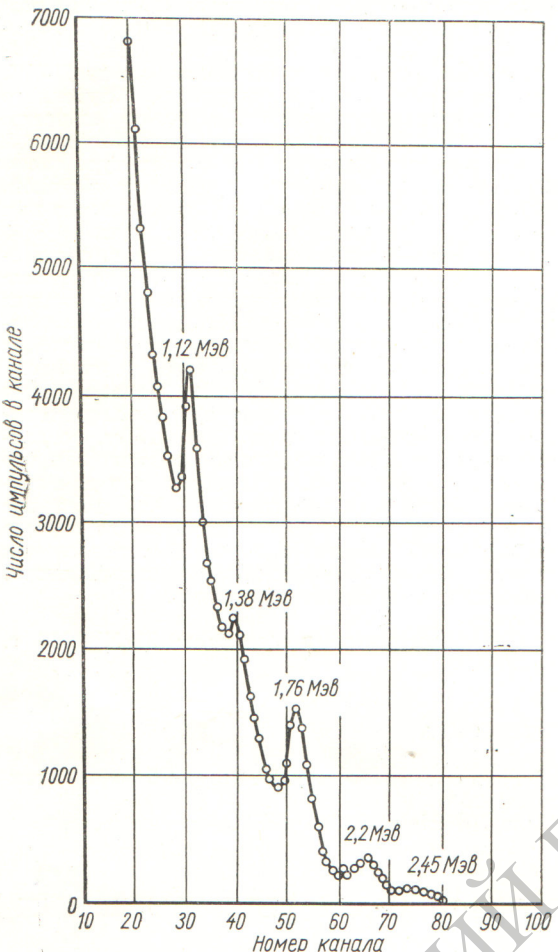


Рис. 1. Спектограмма, полученная при измерении в зоне дробления кварцевых порфиров.

му они не учитывались. При каротаже скважин с более высокой радиоактивностью для снижения просчетов вводилась энергетическая отсечка энергетической шкалы  $E_n = 0,4 \text{ MeV}$ .

В результате проведения полевых работ установлена удовлетворительная надежность измерений в диапазоне температур атмосферного воздуха  $0\text{--}35^\circ\text{C}$ . При автоматической регистрации спектрограмм использовался релейный блок преобразования, соединенный с самописцем ЭПИ-09.

Каротажный датчик состоял из кристалла  $\text{NaJ}(\text{Tl})$  размером  $40 \times 40 \text{ mm}$  и ФЭУ-13. Датчик помещался в стальной гильзе, толщина стенки которой  $1 \text{ mm}$  и наружный диаметр  $65 \text{ mm}$ . Входной импульс с ФЭУ-13 подавался на предусилитель, собранный на транзисторах, а затем по каротажному кабелю КТШ-0,3 длиной  $250 \text{ m}$  поступал на вход анализатора. Энергетическое разрешение спектрометра составляло  $12\%$  на линии  $0,66 \text{ MeV}$ . Измерения показали, что использование некоаксиального кабеля указанной длины ухудшает разрешение спектрометра примерно на  $0,5\text{--}0,7\%$ .

Питание спектрометра осуществлялось от электростанции (мощность  $6,25 \text{ кВт}$ ) и комплекта щелочных

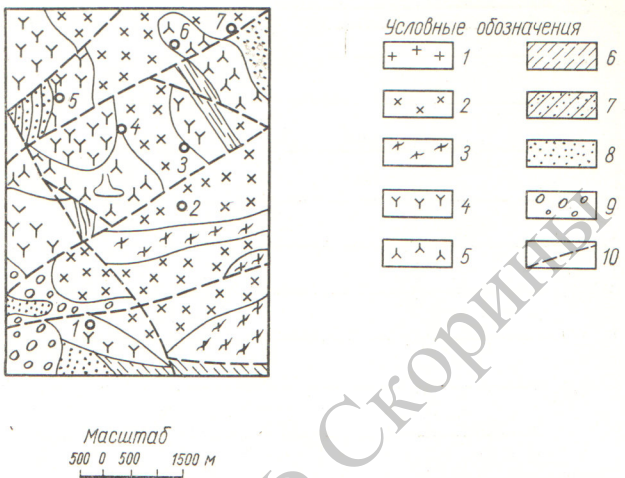


Рис. 2. Геологическая карта аномального участка с местоположением буровых скважин:

1 — гранит-порфиры; 2 — гранодиориты; 3 — гнейсивидные сиениты и граносиениты; 4 — кварцевые порфирь; 5 — порфиры; 6 — аргиллиты; 7 — алевролиты; 8 — песчаники; 9 — конгломераты; 10 — тектонические нарушения; цифры на карте указывают номера скважин.

аккумуляторов, установленных на той же автомашине, что и анализатор.

На рис. 1 приведен пример спектрограммы, полученной при каротаже одной из скважин (породы обогащены ураном, глубина скважины  $70 \text{ m}$ , время набора спектра  $300 \text{ сек}$ ).

Дифференциальный спектрометр АМА-6 был собран на основе 64-канального амплитудного анализатора АМА-6 [4]. В комплект спектрометра входили скважинный датчик с предусилителем (те же, что и в приборе АИ-100-1), самопищущий прибор для регистрации спектрограмм и источник питания (аккумуляторные батареи СЦД-12). Полная потребляемая мощность спектрометра составляла  $5 \text{ вт}$ . Общий вес с датчиком (без кабеля) равен  $7 \text{ кг}$ . Прибор характеризуется высокой надежностью работы: в диапазоне температур атмосферного воздуха  $0\text{--}35^\circ\text{C}$  среднее время между отказами составляло  $200\text{--}300 \text{ ч}$ . Спектрометр АМА-6 является «медленным» устройством, требующим учета просчетов даже при измерении близких к кларковым содержаниям радиоактивных элементов. Максимальная концентрация урана в скважине, регистрируемая этим прибором, не должна превышать  $0,5\text{--}0,7\%$ .

Точность  $\gamma$ -спектрального каротажа характеризуется следующими среднеквадратичными расхождениями: для урана (радия)  $15\text{--}25\%$ , тория  $5\text{--}10\%$  и калия  $10\text{--}12\%$  (содержания радиоактивных элементов, близкие к кларковым, время наблюдения  $18\text{--}25 \text{ мин}$ ). Сравнение полученных результатов с данными химического и радиохимического анализа проб показало отсутствие систематических расхождений.

При проведении описываемых работ  $\gamma$ -спектральный каротаж скважин использовался для решения следующих геологических задач.

1. Определение содержания радия, тория и калия в горных породах, перекрытых чехлом рыхлых образований. Решение данной задачи представляет значительный интерес как для оценки геохимического фона, так и в связи с возможностью дифференциации пород

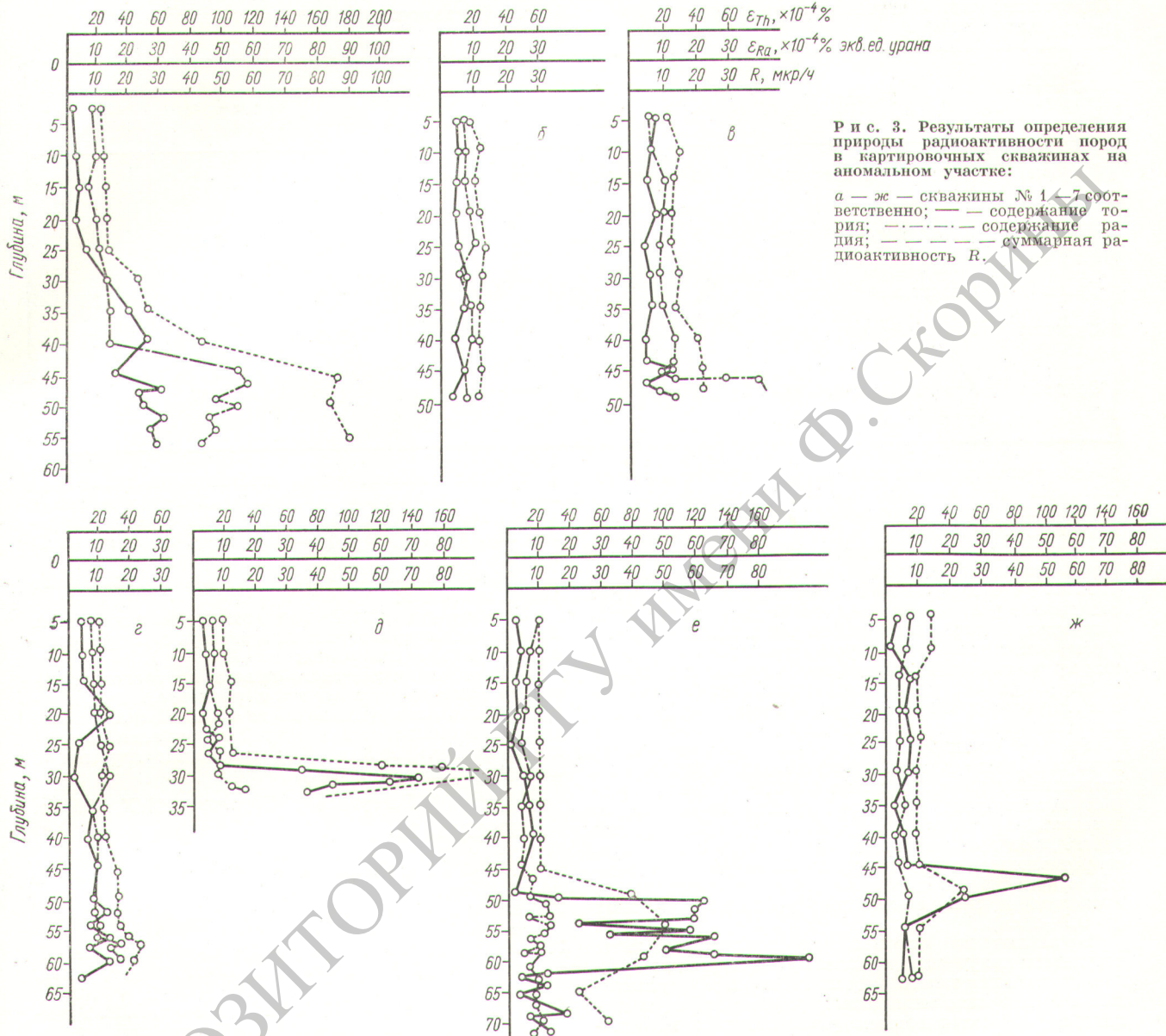


Рис. 3. Результаты определения природы радиоактивности пород в картировочных скважинах на аномальном участке:

а — я — скважины № 1—7 соответственно; — содержание тория; -·-·- содержание радия; - - - суммарная радиоактивность  $R$ .

по содержаниям указанных элементов. Полученные данные  $\gamma$ -каротажа по породам, слагающим палеозойский фундамент района исследований, приведены в таблице.

Как видно из таблицы, горные породы исследуемого района хорошо дифференцируются по содержанию в них тория, при этом максимальное содержание тория отмечается в кварцевых порфирах девона, минимальное — в аргиллитах и песчаниках карбона. Дифференциация пород по содержанию урана и калия, а также по суммарной (интегральной) интенсивности  $\gamma$ -излучения более слабая, чем по содержанию тория. Очевидно, что результаты  $\gamma$ -спектрального каротажа (в частности, определение содержания тория) могут использоваться в данном районе для разделения (картирования) пород, пересекаемых буровыми скважинами.

2. Выделение перспективных участков на площади геологической съемки. При  $\gamma$ -каротаже семи скважин картировочное бурение на съемочном участке № 1 в кварцевых порфирах и гранодиоритах, а также в коре выветривания этих пород была обнаружена повышенная радиоактивность — до 100—110 мкр/ч. Как видно из геологической схемы и графиков каротажа (рис. 2 и 3), аномалии интегральной интенсивности  $\gamma$ -излучения примерно одного порядка отмечаются в скважинах, расположенных на всей площади участка. В то же время природа  $\gamma$ -излучения пород резко изменяется с юга на север. На юге отмечаются высокие содержания тория при относительно низких концентрациях урана. В северной части, наоборот, возрастают содержания урана и падают концентрации тория. Таким образом,

Содержание радия, тория и калия в породах палеозойского фундамента (по данным спектрального γ-каротажа скважин)

Возраст пород	Порода	Число скважин	Содержание элементов в			$\varepsilon_{\text{Th}}/\varepsilon_{\text{U}}$	Среднее значение $\varepsilon_{\text{Th}}/\varepsilon_{\text{U}}$
			радий (уран), $\times 10^{-4} \%$	торий, $\times 10^{-4} \%$	калий, %		
Карбон	Аргиллиты, песчаники	3	6,3	3,7	1,4	0,6	9
Девон	Конгломераты, песчаники	7	8,9	21,2	2,3	2,4	12
Девон	Кварцевые порфириты	1	5,0	57,4	2,9	11,4	33
Ордовик	Гранодиориты, граниты	3	5,8	22,6	2,0	3,9	17
Ордовик	Аргиллиты, песчаники	9	4,9	16,2	1,7	3,9	15

данные  $\gamma$ -спектральных измерений позволили выделить северную часть площади как область избирательного обогащения ураном и рекомендовать ее для детального изучения. Аналогичные результаты были получены и в другом районе — на площади развития гранитов. При помощи спектрального каротажа удалось оконтурить зону с чисто урановой природой радиоактивности: содержание урана в интервале до 2 м достигает 0,015%, а содержание тория в несколько раз ниже кларкового. Кроме отмеченных выше случаев  $\gamma$ -спектральный каротаж применялся непосредственно для подсчетов запасов урана (по радио) по рудным скважинам. Сопоставление полученных значений с результатами опробования керна показало хорошую сходимость.

Рассмотренные примеры указывают на возможность и перспективность использования для геологических исследований мелких скважин (до 250 м) универсальных амплитудных γ-спектрометров. Есть основания полагать, что при помощи простых мер (экранирование кабеля, согласование входа анализатора с волновым сопротивлением кабеля и пр.) геодиагностические исследования с применением указанных выше приборов можно проводить и при значительно больших глубинах (до 0,7—1 км).

В заключение отметим, что изложенные выше результаты получены при помощи аппаратуры, не предназначенной для такого рода исследований. В дальнейшем целесообразно выполнять каротаж с помощью специально спроектированных универсальных многоканальных дифференциальных спектрометров, в комплект которых необходимо включать следующие блоки:

Градуировка сцинтилляционного аэро-гамма-спектрометра  
УДК 553.495:539.16.0

М. Б. ВАСИЛЬЕВ

В настоящей работе описан способ градуировки общего канала (OK) сцинтилляционного аэро-гамма-спектрометра АСГ-48; детектором излучения служит пластмассовый сцинтиллятор *n*-терфенил + РОРОР в полистироле диаметром 230 см и высотой 400 см. Сцинтиллятор состоит из одного или из двух склеенных моноблоков, с торцов которых установлены два фотомножителя типа ФЭУ-49.

При градуировке необходимо учитывать влияние рассеянного излучения, которое искажает ход градуировочной кривой. Неискаженная градуировочная кривая описывается формулой

$$J = K_\gamma B(r) \frac{Q}{r^2}, \quad (1)$$